บทที่ 1
บทนำ

1.1 ความเป็นมาและความสำคัญของปัญหา

แบบจำลองจักรกลเรียนรู้ (Machine Learning models) นั้นถูกใช้อย่างกว้างขวางในปัจจุบัน อย่างไรก็ตาม แบบจำลองใดๆ นั้นอาจมีความผิดพลาดต่อการทำการโจมตีประสงค์ร้าย (Adversarial attacks) เพื่อจงใจให้ผลลัพธ์ที่แบบจำลองนั้นคาดเดามีความผิดพลาดจากผลลัพธ์ที่ควรจะเป็น

ในการเรียนรู้เชิงตัวแปรเสริม (parameter-based learning) นั้น ตัวแปรเสริม (parameters) ค่าน้ำหนัก (weights) บนแบบจำลองการเรียนรู้เชิงลึก (deep Learning models) เป็นตัวกำหนดความฉลาดของแบบจำลอง อาจมีตัวแปรเสริมบางชุดที่ทำให้แบบจำลองมีช่องโหว่ต่อการโจมตีประสงค์ร้าย การโจมตีนั้นอาจเกิดจากการเพิ่มสัญญาณรบกวนซึ่งผ่านการคำนวน (calculated artefacts) เข้าสู่ข้อมูลรับเข้า (inputs) ซึ่งทำให้ความผิดพลาดของแบบจำลองในการพยากรณ์คำตอบนั้นเปลี่ยนไปอย่างชัดเจน

โครงงานวิศวกรรมคอมพิวเตอร์นี้มุ่งหวังจะนำตัวแปรเสริมบนแบบจำลองมาสร้างภาพแสดง (visualise) ถึงจุดโหว่ในการพยากรณ์ใดๆ ของแบบจำลอง เพื่อลดความเสียหายอันอาจเกิดขึ้นได้จากการโจมตีแบบจำลองขณะถูกใช้งานจริง

1.2 วัตถุประสงค์ของการศึกษา

โครงงานนี้มีวัตถุประสงค์และเป้าหมายดังนี้

1. สร้างแบบจำลองเชิงลึก (Deep Learning models) ซึ่งสามารถถูกโจมตีประสงค์ร้าย (Adversarial attacks) ได้
2. นำแบบจำลองในข้อ (1) มาสร้างเป็นรูปภาพแสดง (visualisation) เพื่อหาจุดโหว่ต่อการโจมตี รวมถึงคาดเดาแนวโน้มการโจมตีที่เป็นไปได้
3. ใช้ความรู้ในข้อ (2) สร้างแบบจำลองที่ทนทาน (prone) ต่อการโจมตีมากขึ้น

1.3 ขอบเขตของการทำโครงงาน

โครงงานนี้มีขอบเขตการดำเนินงานดังนี้

1. สร้างแบบจำลองเชิงลึก (Deep Learning models) ซึ่งสามารถถูกโจมตีประสงค์ร้าย (Adversarial attacks) ได้
2. นำแบบจำลองในข้อ (1) มาสร้างเป็นรูปภาพแสดง (visualisation) เพื่อหาจุดโหว่ต่อการโจมตี รวมถึงคาดเดาแนวโน้มการโจมตีที่เป็นไปได้
3. ใช้ความรู้ในข้อ (2) สร้างแบบจำลองที่ทนทาน (prone) ต่อการโจมตีมากขึ้น

1.4 ระยะเวลาและแผนดำเนินงาน

ในช่วงแรกของการทำโครงงาน แผนการดำเนินงานนั้นจะใช้ในรูปแบบของรบวนทวนซ้ำ (iteration) ตามกรรมวิธีการดำเนินงานแบบเอไจล์ (agile) ซึ่งประกอบไปด้วยขั้นตอนการวนทวนดังนี้...

1.5 ประโยชน์ที่คาดว่าจะได้รับ

1. เข้าใจถึงพื้นฐาน หลักการทำงาน และระบบจักรกลเรียนรู้แบบต่างๆ
2. เข้าใจถึงจุดอ่อนของระบบจักรกลเรียนรู้ในแต่ละกรณี
3. สามารถโจมตีระบบจักรกลเรียนรู้ เพื่อสร้างระบบจักรกลเรียนรู้ที่ทนทานต่อการโจมตีได้

1.6 คำนิยามศัพท์เฉพาะ

- **จักรกลเรียนรู้** (machine learning) คือระบบ หรือโค้ด หรือโปรแกรมคอมพิวเตอร์ที่เรียนรู้โครงสร้างของชุดคำถามและคำตอบโดยมิจำเป็นต้องทำการโปรแกรมลำดับการทำงานอย่างชัดแจ้ง (explicitly)
- **การเรียนรู้เชิงโจมตี** (adversarial learning) หมายถึงการศึกษาถึงการโจมตีแบบจำลอง (model) ของจักรกลเรียนรู้ (machine learning)

บทที่ 2
ทฤษฎีและงานวิจัยที่เกี่ยวข้อง

2.1 จักรกลเรียนรู้

ระบบจักรกลเรียนรู้ (machine learning) อาจนิยามได้ว่าเป็นระบบที่ไม่ต้องมีการป้อนข้อมูล หรือวิธีทำงาน เข้าไปยังโค้ดโปรแกรมอย่างชัดแจ้ง (explicitly) โดยระบบดังกล่าวจะถูกฝึกสอนด้วยชุดของข้อมูลหรือประสบการณ์ (experience) และปรับตัวเองให้ส่งออกคำตอบซึ่งอิงจากประสบการณ์ที่ตนเองเคยได้เรียนรู้มา

หากจะกล่าวให้ละเอียด เราสามารถนิยามโปรแกรมซึ่งสามารถทำการ*เรียน*ได้ดังนี้ [1]

บทนิยาม 2.1.1. โปรแกรมใดๆ เรียน (learn) จากประสบการณ์ (experience) E บนงาน (task) T และการวัดประสิทธิผล (performance measurement) P หากประสิทธิผลบน T ซึ่งถูกวัดโดย P เพิ่มขึ้นตามประสบการณ์ E

2.2 การเรียนรู้เชิงลึก

การเรียนรู้เชิงลึก (Deep Learning) คือความพยายามในการจำลองเซลล์ประสามของมนุษย์ให้อยู่ในรูปแบบจำลองคณิตศาสตร์ ด้วยความเชื่อทางหลักประสาทวิทยา (neurosciences) ว่าความฉลาดของสมองมนุษย์เกิดขึ้นได้จากโครงข่ายประสาทจำนวนมาก ที่เชื่อมเข้าถึงกัน [2]

2.2.1 เปอร์เซปตรอน (Perceptron)

เปอร์เซปตรอน (Perceptron) [3] เป็นแบบจำลองทางคณิตศาสตร์ของเซลล์สมองหนึ่งเซลล์ โดยมีคุณสมบัติดังนี้

- รับเข้าข้อมูลมาในเซลล์จากหลายแหล่ง และให้น้ำหนักกับข้อมูลนั้นต่างกันไป
- ส่งออกข้อมูลเพียงค่าเดียว

ดังนั้น แบบจำลองทางคณิตศาสตร์สามารถเขียนออกมาจากหลักการสองข้อดังกล่าวได้ด้วยสมการ

$$y = f\left(W^T X + b\right)$$

เมื่อ W และ X เป็นเมทริกซ์ขนาด $1 \times n$ (โดย n เป็นจำนวนข้อมูลรับเข้า), b เป็นค่าสัมประสิทธิ์คงที่ (อคติ: bias) และ f เป็นฟังก์ชั่นกระตุ้น (activation function) ซึ่งอาจเขียนรูปร่างของเปอร์เซปตรอนให้มีลักษณะรูปคล้ายเซลล์สมองได้ในลักษณะรูปที่ 2.1

ยกตัวอย่างการใช้เปอร์เซปตรอนในการแก้ปัญหาอย่างง่ายได้ในที่นี้

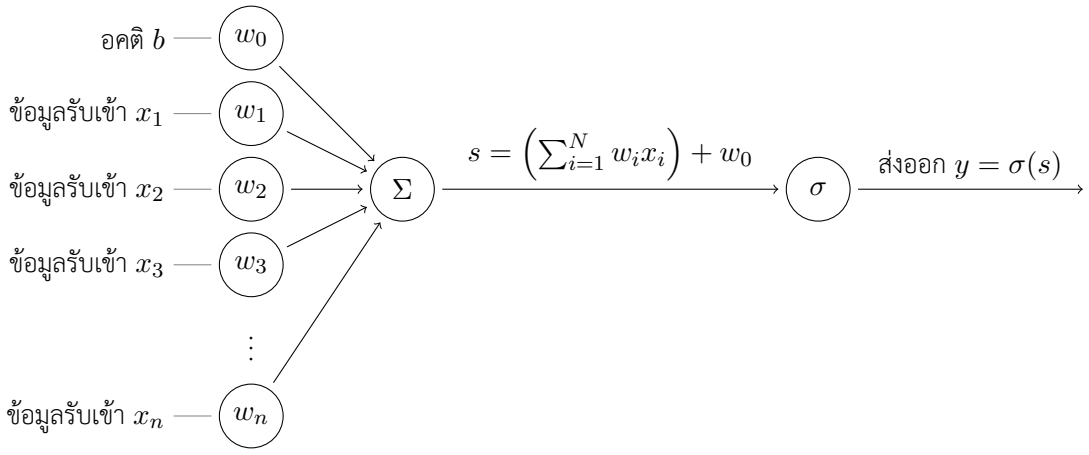

รูปที่ 2.1: เปอร์เซปตรอน

การคาดเดาราคาอสังหาริมทรัพย์

หากสำรวจราคาอสังหาริมทรัพย์แล้วพบว่า

- ราคาอสังหาริมทรัพย์จะเพิ่มขึ้นตามที่ดิน โดยเพิ่มขึ้นทุก 10,000 บาทต่อตารางวา
- ราคาอสังหาริมทรัพย์จะเพิ่มขึ้นตามจำนวนห้องนอน โดยเพิ่มขึ้นทุก 200,000 บาทต่อห้องนอน
- ราคาอสังหาริมทรัพย์จะลดลงตามจำนวนอายุปี โดยลดลงทุก 7,000 บาทต่ออายุของอสังหาริมทัพย์
- ราคากำหนดตรึง (fixed cost) ของอสังหาริมทรัพย์ อยู่ที่ 100,000 บาท

จะสามารถเขียนเปอร์เซปตรอนเพื่อคาดเดาราคาอสังหาริมทรัพย์ได้โดย

$$y = \sigma\left(W^T X\right)$$

เมื่อ W ซึ่งเป็นค่าสัมประสิทธิ์แสดงถึงความสัมพันธ์ข้อมูลรับเข้า ซึ่งเขียนได้จากความสัมพันธ์ดังแสดงด้านล่าง

$$W^T = \begin{bmatrix} 100000 & 10000 & 200000 & -7000 \end{bmatrix}$$

หากต้องการคาดเดาราคาบ้านที่มี 3 ห้องนอน เนื้อที่ 100 ตารางวา และมีอายุ 7 ปี จะสามารถเขียนเมทริกซ์ X ได้เป็น

$$X = \begin{bmatrix} 1 \\ 3 \\ 100 \\ 7 \end{bmatrix}$$

โปรดสังเกตว่า $x_0 = 1$ เนื่องจากผลคูณของเทอม w_0 และ x_0 เป็นค่าที่เรียกว่าค่าอคติ (bias) ของแบบจำลอง

เนื่องจากเปอร์เซปตรอนตัวนี้ถูกใช้ในการทำนายราคา ซึ่งกล่าวว่ามีความสัมพันธ์กันกับตัวแปรที่กำหนดข้างต้นในเชิงเส้น ดังนั้นจะกล่าวได้ว่าฟังก์ชั่นกระตุ้น (activation function) ที่เลือกใช้ จะเลือกใช้ฟังก์ชั่นเส้นตรง (linear function) $\sigma(x) = x$

ดังนั้น ผลการทำนายราคาบ้านคำนวนได้จาก

$$\begin{aligned} y &= \sigma\left(W^T X + b\right) \\ &= \sigma\left(\begin{bmatrix} 100000 & 10000 & 200000 & -7000 \end{bmatrix} \times \begin{bmatrix} 1 \\ 3 \\ 100 \\ 7 \end{bmatrix}\right) \\ &= \sigma(100000 + 30000 + 20000000 + (-49000)) = f(20981000) \\ &= 20981000 \end{aligned}$$

การสร้างประตูสัญญาณตรรกะด้วยเปอร์เซปตรอน

เราสามารถสร้างประตูสัญญาณตรรกะ (logic gates) บางชนิดได้ด้วยเปอร์เซปตรอน เช่นการสร้าง AND และ OR gate

ยกตัวอย่างโครงสร้างของประตูสัญญาณและซึ่งสามารถสร้างได้ด้วยการกำหนดให้

- X เป็นเมทริกซ์ขนาด 1×2 กล่าวคือเมื่อรับค่า x_1, x_2 เป็นค่า 0 หรือ 1 แทนสัญญาณจริงหรือเท็จแล้ว

$$X = \begin{bmatrix} 1 \\ a_1 \\ a_2 \end{bmatrix}$$

- กำหนดค่าของเมทริกซ์ W เป็น

$$W^T = \begin{bmatrix} -2 & 1 & 1 \end{bmatrix}$$

- กำหนดฟังก์ชั่น $\sigma(x)$ เป็น step function กล่าวคือ

$$\sigma(x) = \begin{cases} 1; & x \geq 0 \\ 0; & \text{ในกรณีอื่น} \end{cases}$$

และการสร้างประตูสัญญาณหรือสามารถทำได้ในลักษณะเดียวกันโดยเปลี่ยนชุดน้ำหนัก เป็น

$$W^T = \begin{bmatrix} -1 & 1 & 1 \end{bmatrix}$$

2.2.2 เปอร์เซปตรอนแบบหลายชั้น (Multi Layer Perceptron)

เราอาจสังเกตว่าเปอร์เซพตรอนหนึ่งตัวนั้นทำหน้าที่ได้เพียนแยก (classify) หรือถดถอย (regress) ปัญหาที่เป็นปัญหาเชิงเส้น (linear problems) ได้เท่านั้น อย่างไนก็ตามหากเรากำหนดให้ฟังก์ชั่น f เป็นฟังก์ชั่นที่ไม่ใช่ฟังก์ชั่นเส้นตรงแล้ว เราอาจสร้าง**เปอร์เซปตรอนแบบหลายชั้น** (Multi Layer Perceptron) ขึ้นมาได้โดยมีลักษณะดังรูปที่ 2.2

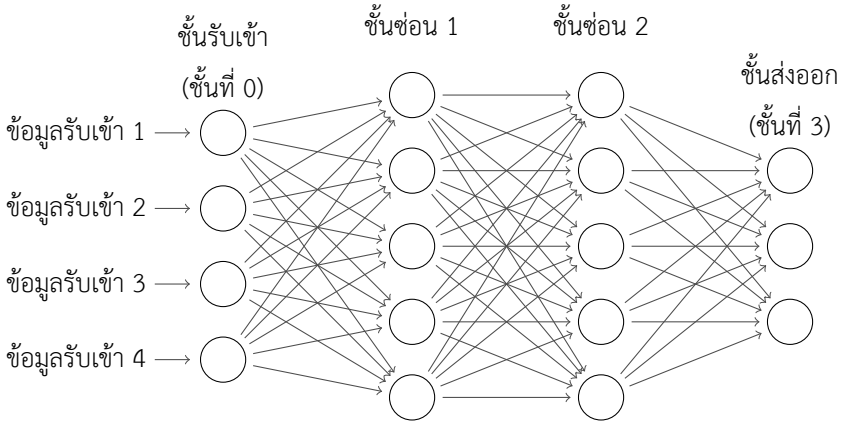

รูปที่ 2.2: เปอร์เซปตรอนแบบหลายชั้น

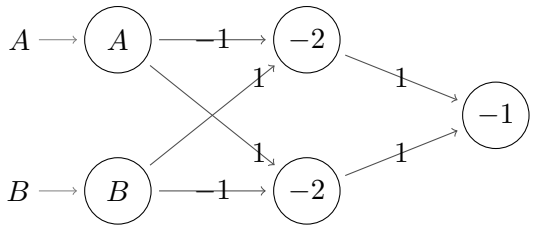

รูปที่ 2.3: เปอร์เซปตรอนแบบหลายชั้นซึ่งทำหน้าที่เป็นประตูสัญญาณเฉพาะหรือ

เราอาจเขียนแทนน้ำหนักของโครงข่ายจากเปอร์เซปตรอนชั้นที่ i ไปยังชั้นที่ j ($j = i + 1$) ได้เป็น

$$\boldsymbol{W}_{ij} = \begin{bmatrix} w_{10} & w_{20} & \dots & w_{n_i 0} \\ w_{11} & w_{21} & \dots & w_{n_i 1} \\ w_{12} & w_{22} & \dots & w_{n_i 2} \\ \vdots & \vdots & \ddots & \vdots \\ w_{1 n_j} & w_{2 n_j} & \dots & w_{n_j n_i} \end{bmatrix}$$

เมื่อจำนวนเปอร์เซปตรอนในชั้นที่ k เขียนแทนด้วย n_k

ยกตัวอย่างเช่น เราจะสามารถสร้างประตูสัญญาณเฉพาะหรือ (XOR gate) ได้จากเปอร์เซปตรอนแบบหลายชั้นดังแสดงในรูปที่ 2.3 โดยเลขในแต่ละเปอร์เซปตรอนแทนค่าอคติ (b) และเลขบนเส้นเชื่อมแทนค่าน้ำหนัก (w) และกำหนดให้ฟังก์ชั่นกระตุ้น σ เป็นฟังก์ชั่นขั้นบันได (step function) กล่าวคือ

$$\sigma(x) = \begin{cases} 1; & x \geq 0 \\ 0; & \text{ในกรณีอื่น} \end{cases}$$

เปอร์เซปตรอนดังกล่าว เมื่อรับค่า A และ B เป็น 0 หรือ 1 จะส่งออกค่า $A \oplus B$

2.3 ฟังก์ชั่นกระตุ้นและความฉลาดของโครงข่ายประสาทเทียม

2.3.1 ทฤษฎีบทตัวประมาณฟังก์ชั่นครอบจักรวาล

เหตุผลที่โครงข่ายประสาทเทียมสามารถทำงานได้ดี เนื่องจากมีการพิสูจน์ว่าโครงข่ายประสาทเทียมนั้นสามารถทำหน้าที่เป็นตัวประมาณฟังก์ชั่นครอบจักรวาล [4] (universal function approximator) กล่าวคือโครงข่ายประสาทเทียม $N : \mathbb{R}^k \to \mathbb{R}^n$ ที่มีความซับซ้อนมากเพียงพอ (ซึ่งจะกล่าวถึงความซับซ้อนนี้ในภายหลัง) สามารถที่จะจำลองฟังก์ชั่น $f : \mathbb{R}^k \to \mathbb{R}^n$ (กล่าวคือฟังก์ชั่นที่มีโดเมน และเรนจ์ เป็นจำนวนจริงใดๆ ในมิติที่เหมือนกับมิติข้อมูลรับเข้าและข้อมูลส่งออกของโครงข่ายประสาทเทียม N) ได้ [5] [6] [7]

บทพิสูจน์ของทฤษฎีนี้ทั้งในรูปแบบของกรณีไม่ตีกรอบความกว้าง (unbounded width case) และกรณีตีกรอบความกว้าง (bounded width case) สามารถศึกษาได้จากแหล่งอ้างอิง รวมถึงแหล่งอ้างอิงเพิ่มเติมที่ใช้การแสดงทัศนภาพ (visualisation) เพื่อการพิสูจน์ทฤษฎีบทดังกล่าว [8]

2.3.2 ข้อสังเกตต่อฟังก์ชันกระตุ้นและความฉลาด

บทพิสูจน์ที่ได้กล่าวถึงไปก่อนหน้านี้สำหรับกรณีไม่ตีกรอบความกว้าง และตีกรอบความกว้าง เป็นบทพิสูจน์ที่ใช้ฟังก์ชันกระตุ้นเป็นฟังก์ชันซิกมอยด์ (sigmoid) และฟังก์ชันรีลู (ReLU) ตามลำดับ

อย่างไรก็ดี หากพิจารณาโครงข่ายประสาทเทียมใดๆ ที่ใช้ฟังก์ชันกระตุ้นเป็นฟังก์ชันเชิงเส้น $f(x) = x$ เราจะพบว่าโครงข่ายประสาทเทียมใดๆ จะสามารถยุบให้อยู่ในรูปของเปอร์เซปตรอนเพียงตัวเดียว และทำให้ไม่สามารถตัดสินใจปัญหาได้มากกว่าปัญหาที่แบ่งแยกเชิงเส้นได้ (linearly separable problems)

ดังนั้น อาจกล่าวด้วยการพิจารณา (intuition) ในลักษณะดังกล่าวได้ว่า ส่วนหนึ่งของความเป็นไปได้ของการที่โครงข่ายประสาทเทียมใดๆ สามารถทำหน้าที่เป็นตัวประมาณฟังก์ชันครอบจักรวาลได้ ส่วนหนึ่งมาจากการที่ฟังก์ชันกระตุ้นทำหน้าที่เป็นตัวบีบ (sqeezer) ช่วงของข้อมูลรับเข้าบนโดเมนจำนวนจริงใดๆ ($\mathbb{R}$) ให้กลายไปเป็นช่วงจำกัดช่วงอื่น (เช่น ช่วง $(0, 1)$ ของฟังก์ชันซิกมอยด์ หรือช่วง $[0, \infty)$ ของฟังก์ชันรีลู)

2.4 โครงข่ายประสาทเทียมแบบสังวัฒนาการ

โครงข่ายประสาทเทียมแบบสังวัฒนาการ (Convolutional Neural Networks: CNN) [9] เป็นโครงข่ายประสาทเทียมซึ่งมักถูกใช้กับข้อมูลภาพ [10] โดยคร่าวแล้วโครงข่ายประสาทเทียมในลักษณะดังกล่าวมักประกอบด้วยชั้นประสาทเทียมในลักษณะดังนี้

- **ชั้นสังวัฒนาการ** (convolution layer) เป็นชั้นที่กระทำตัวดำเนินการสังวัฒนาการ (convolve) ตัวกรอง (filter) F บนข้อมูลนำเข้า I ด้วยระยะเคลื่อน (stride) S ผลลัพธ์จากการสังวัฒนาการนี้จะเรียกว่าแผนที่ลักษณะ (feature map) ยกตัวอย่างการสังวัฒนาการเพื่อหาเส้นเฉียงในรูปที่ 2.4 สังเกตว่าการสังวัฒนาการด้วยตัวกรองเส้นเฉียงบนเส้นเฉียงบริเวณข้อมูลนำเข้า จะให้ค่าส่งออกที่มากกว่าการสังวัฒนาการตัวกรอกเส้นเฉียงบนจุดพื้นที่อื่นของข้อมูลนำเข้า (ในที่นี้เขียนแทนด้วยสีแดงเข้ม และสีแดงอ่อน)
- **ชั้นบ่อรวม** (pooling layer) เป็นชั้นที่ทำการสุ่มตัวอย่างแบบลดขนาด (downsampling) เพื่อลดขนาดของข้อมูลในขณะที่ยังคงไว้ซึ่งชุดคุณสมบัติที่ข้อมูลรับเข้ามี ชั้นบ่อรวมอาจแบ่งเป็นสองประเภทหลัก
  - **ชั้นบ่อรวมแบบมากสุด** (maximum pooling layer) เป็นชั้นบ่อรวมที่พบได้บ่อยที่สุด

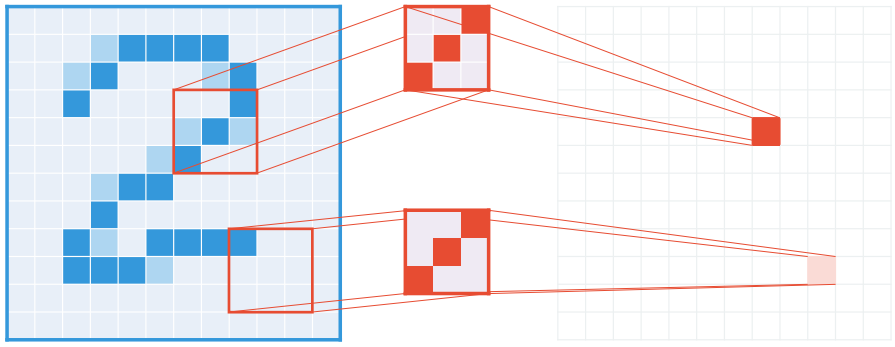

รูปที่ 2.4: ชั้นสังวัฒนาการ ซึ่งแสดงข้อมูลนำเข้าด้วยสีฟ้า และตัวกรองด้วยสีแดง

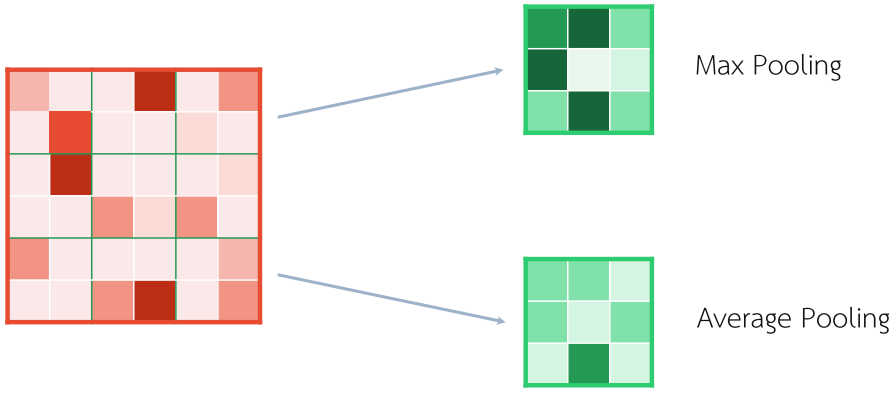

รูปที่ 2.5: ชั้นบ่อรวม ทั้งแบบบ่อรวมมากสุดและแบบบ่อรวมเฉลี่ย โดยพิจารณาบ่อตามขอบเขตสีเขียว

- **ชั้นบ่อรวมแบบเฉลี่ย** (average pooling layer) เป็นชั้นบ่อรวมที่พบในโครงข่ายประสาทเทียมแบบสังวัฒนาการบางรูปแบบ เช่น LeNet

การสังวัฒนาการของชั้นสังวัฒนาการในโครงข่ายประสาทเทียม ทำหน้าที่เป็นตัวตรวจจับคุณสมบัติ (feature detector) เช่นการตรวจจับขอบ (edge detection) และชั้นบ่อรวมทำให้ขนาดของผลัพธ์จากชั้นสังวัฒนาการมีขนาดเล็กลง เพื่อให้จำนวนค่าน้ำหนักของโครงข่ายประสาทเทียมที่ต้องคำนวนนั้นน้อยลง

2.5 การเรียนรู้ด้วยวิธีก้าวเคลื่อนถอยหลัง

การเรียนรู้ด้วยวิธีก้าวเคลื่อนถอยหลัง (backpropagation learning)...

บรรณานุกรม

[1] T. M. Mitchell, *Machine Learning*. New York: McGraw-Hill, 1997.

[2] I. Goodfellow, Y. Bengio, and A. Courville, *Deep Learning*. MIT Press, 2016. `http://www.deeplearningbook.org`.

[3] F. Rosenblatt, "The perceptron: A probabilistic model for information storage and organization in the brain.," *Psychological Review*, vol. 65, no. 6, p. 386–408, 1958.

[4] K. Hornik, "Approximation capabilities of multilayer feedforward networks," *Neural Networks*, vol. 4, no. 2, p. 251–257, 1991.

[5] G. Cybenko, "Approximation by superpositions of a sigmoidal function," *Mathematics of Control, Signals, and Systems*, vol. 2, pp. 303–314, Dec. 1989.

[6] M. Leshno, V. Y. Lin, A. Pinkus, and S. Schocken, "Multilayer feedforward networks with a nonpolynomial activation function can approximate any function," *Neural Networks*, vol. 6, pp. 861–867, Jan. 1993.

[7] A. Kratsios, "Universal approximation theorems," 2019.

[8] M. A. Nielsen, "Neural networks and deep learning," Jan 1970.

[9] Y. LeCun, L. Bottou, Y. Bengio, and P. Haffner, "Gradient-based learning applied to document recognition," in *Proceedings of the IEEE*, vol. 86, pp. 2278–2324, 1998.

[10] A. Krizhevsky, I. Sutskever, and G. E. Hinton, "Imagenet classification with deep convolutional neural networks," in *Proceedings of the 25th International Conference on Neural Information Processing Systems - Volume 1*, NIPS'12, (USA), pp. 1097–1105, Curran Associates Inc., 2012.